

## بررسی ویژگی‌های ژنوتیپی و الگوی rep-PCR باکتری *Xanthomonas arboricola* rep-PCR باکتری، عامل بلاستیکی گردو در استان کهگیلویه و بویر احمد

سیده هاجر بانو موسوی‌پور<sup>۱</sup> و گیلدا نجفی‌پور<sup>۲\*</sup>

- ۱- دانش آموخته کارشناسی ارشد بیماری‌شناسی گیاهی، گروه گیاهپزشکی، دانشگاه آزاد اسلامی واحد جهرم، جهرم، ایران  
۲- \*تویینده مسؤول: استادیار، گروه گیاهپزشکی، دانشگاه آزاد اسلامی، واحد جهرم، جهرم، ایران (g\_najafipour@jia.ac.ir)  
(gilda\_najafi@yahoo.com)

تاریخ پذیرش: ۹۷/۰۲/۲۳

تاریخ دریافت: ۹۵/۰۵/۲۶

### چکیده

بیماری بلاستیکی گردو ناشی از (*Xanthomonas arboricola* pv. *juglandis*) (Xaj)، یکی از مهمترین بیماری‌های درخت گردو است که در حضور رطوبت و دمای مناسب، خسارت زیادی را به گردو وارد می‌کند. طی سال‌های ۱۳۹۰ و ۱۳۹۱، تعدادی نمونه‌ی برگ و میوه‌ی گردو، مشکوک به بیماری بلاستیکی گردید. از مناطق مختلف استان کهگیلویه و بویر احمد جمع آوری شده و در آزمایشگاه مورد بررسی قرار گرفت. در مجموع ۲۵ جدایه‌ی گرم منفی با پرگنه‌های ریز، نسبتاً برجسته و زرد رنگ، هوایی اجباری، اکسیداز منفی و کاتالاز مثبت جداسازی و بطور اولیه بعنوان *Xaj* تلقی و آزمون‌های تکمیلی روی آن‌ها انجام شد. کلیه‌ی جدایه‌ها قادر به هیدرولیز نشاسته و تولید  $H_2S$  از سیستئین بوده و روی محیط کشت YDC پرگنه‌های زرد رنگ ایجاد نمودند. نتایج بدست آمده از آزمون‌های بیوشیمیایی و فتوتیپی و نیز آزمون اثبات بیماری‌ای روی میوه گردو، وجود باکتری *Xaj* را در استان کهگیلویه و بویر احمد محرز نمود. این اولین گزارش از وجود بیماری مذکور در این استان است. در بررسی خصوصیات ژنوتیپی در واکنش rep-PCR و با استفاده از نرم افزار NTsys-Pc، جدایه‌ها در سطح تشابه ۷۳ درصد در دو گروه قرار گرفتند؛ اما گروه‌بندی خاصی براساس منطقه جغرافیایی میزان، در میان آنها قابل مشاهده نبود. این نتیجه نشان میدهد احتمالاً جدایه‌های *Xaj* در مناطق مختلف استان، دارای مشابهیکسانی هستند.

کلید واژه‌ها: ایران، بلاستیکی گردو، تنوع ژنوتیپی، *Xaj*, rep-PCR

### از *Xanthomonas arboricola* pv. *juglandis* مقدمه

می‌باشد. این بیماری در اکثر مناطق گردو خیز جهان وجود دارد و در صورت مساعد بودن شرایط محیطی، سبب ایجاد خسارتی بین ۵۰ تا ۸۰ درصد محصول می‌شود (Belisario, et al., 1997).

بیماری بلاستیکی گردو، جوانه، برگ، دمبرگ، دمگل، سرشاخه، شاتون، مادگی، میوه‌چه و مغز گردو را مورد حمله قرار می‌دهد. بافت‌های آبدار جوان نسبت به سایر بافت‌ها حساس‌ترند. باکتری از طریق منافذ

گردو در اغلب کشورهای معتدل‌که تابستان‌های ملایمی داشته باشند پرورش داده می‌شود. در ایران، به ترتیب استان‌های فارس، همدان، کردستان و کهگیلویه و بویر احمد دارای مقام‌های اول تا چهارم از لحاظ میزان تولید گردو در کشور هستند (Behdad, 1981). از مهمترین عوامل کاهش کمیت و کیفیت این محصول، بیماری‌ها و آفات مختلف آن است. یکی از مهمترین بیماری‌های گردو، بیماری بلاستیکی گردو ناشی

در ایران، پژوهندگان مختلفی، بیماری بلاست باکتریایی گردو را در مناطق مختلف کشور مورد ارزیابی قرارداده اند. اولین بار اسفندیاری در سال ۱۳۲۶ با مطالعات اولیه‌ی نمونه‌های مشکوک که از بابل، آمل و رشت جمع آوری شده بود، بیماری مذکور را شناسایی و عامل آن را *Pseudomonas juglandis* (Behdad, 1981).

Amani (1974, 1977) با بررسی باغات گردوکاری قزوین و تاکستان از فارسجین قزوین نمونه‌های بیماری را مورد بررسی قرار داد. وی براساس خصوصیات بیماریزایی، بیوشیمیایی و فنوتیپی، عامل بیماری را *Xanthomonas juglandis* (Pierce) Dowson 1939 گزارش نمود.

Mahsoul et al. (1989) آلدگی به بلاست باکتریایی گردو را از چند منطقه در استان مازندران گزارش و با جداسازی پاتوژن عامل بیماری، آزمون‌های بیوشیمیایی و اثبات بیماری زایی را روی آن‌ها انجام داد. در نهایت براساس خصوصیات بیماریزایی، فنوتیپی و بیوشیمیایی، باکتری عامل *Xanthomonas campestris* pv. *juglandis* Dowson 1937 تشخیص و گزارش نمود.

Golmohammadi et al. (2002) بیماری بلاست باکتریایی و پوسیدگی مغز گردو را در استان‌های غربی، مرکزی و شمالی کشور مورد مطالعه قرار داده و برخی خصوصیات فنوتیپی، بیماریزایی و الکتروفوزر پروتئین‌های سلولی عامل بیماری را گزارش نمودند.

Soltani and Alizadeh (2002) ضمن بررسی اثرات ضد باکتریایی انسان‌های گیاهی بر باکتری *Xaj*, تنوع ژنتیکی گردوی استان همدان در واکنش به باکتری عامل بلاست گردو را نیز بررسی نمودند.

بیماری بلاست باکتریایی گردو تاکنون از تاکستان، قزوین، تفرش، گیلان، مازندران، همدان، لرستان (Mohammadpour, 2004), زنجان، گلستان، آذربایجان Azadbakht et al., (2006) گزارش شده اما از وجود بیماری در استان کهگیلویه و بویراحمد اطلاعی در دسترس نیست. با توجه به سطح زیرکشت بالای گردو در استان کهگیلویه و بویراحمد و نیز

طیعی مثل روزنه‌ها و بافت‌های زخمی به درون میزان نفوذ می‌کند (Belisario, et al., 1997). شیوع بیماری با میزان بارندگی در طی چهار هفته ابتدایی بعد از شکوفه‌دهی، ارتباط مستقیم دارد. علائم بیماری در برگها، ابتدا به صورت نقاط کوچک آبسخته است که پس از توسعه، ایجاد لکه‌های ۲-۴ میلیمتری بافت مرده زوایه‌ای می‌کند (Bradbury, 1986). آلدگی در برگ‌های در حال رشد منجر به بدشکلی می‌شود (Golmohammadi et al., 2002). علائم در روی سرشاخه‌ها، ابتدا به صورت نقاط بسیار ریز نیمه شفاف و آبسخته است که با توسعه بیماری حالت شانکر می‌گیرند. شاخه‌هایی که کاملاً چوبی نشده‌اند ممکن است مورد حمله بیماری قرار گیرند، ولی پس از چوبی‌شدن از مقاومت کافی برخوردار می‌شوند. آلدگی میوه می‌تواند منجر به خسارت شدید اقتصادی گردد و منجر به ریزش میوه شود (Lang and Evans, 2010).

بیماری بلاست باکتریایی گردو برای اولین بار از استرالیا گزارش گردید (Bradbury, 1986). Pierce (1901) باکتری عامل بیماری را جداسازی و بیماری‌زایی آن را *Pseudomonas juglandis* ثابت نموده و نام آن را *Xanthomonas juglandis* نهاد. سپس عامل بیماری، به عنوان یک باکتری هوازی اجاری، گرم منفی، زرد رنگ، کاتالاز مثبت و میله‌ای شکل توصیف شد (Bradbury, 1986).

بردهندی جنس زانتوموناس، عامل بیماری بلاست باکتریایی گردو *Xanthomonas arboricola* pv. *juglandis* (Xaj) نامیده شد. همچنین براساس همولوژی DNA-DNA, DNA-rRNA هموژنیکی، الکتروفوزر پروتئین، آنالیزهای اسیدهای چرب و خصوصیات فنوتیپی، در گروه چهار هموژنی زانتوموناس قرار گرفت. در بردهندی پلی‌فارزی، براساس خصوصیات فنوتیپی و ژنتیکی، گونه‌های زانتوموناس در بیست گروه هموژنی قرار گرفتند، که گونه مذکور در گروه هموژنی چهار قرار گرفت (Vauterin et al., 1995).

حساسیت، کاتالاز، رشد هوایی و بی هوایی، تولید لوان و سایر آزمون‌های فیزیولوژیکی و بیوشیمیایی بر اساس Schaad et al., (2001) انجام شد.

آزمون اثبات بیماری زایی سویه‌ها، روی میوه‌های سالم گردو انجام گردید. به این منظور، ابتدا از کشت ۲۴ ساعته باکتری، سوسپانسیونی با غلاظت تقریبی  $CFU \cdot 10^8$  بر میلی‌لیتر ( $OD_{600} = 1$ ) تهیه و روی میوه‌ها با استفاده از سوزن استریل، زخم‌های ریزی ایجاد گردید. پس از آن ۵۰ میکرولیتر از سوسپانسیون باکتری روی زخم‌ها قرار داده شد. میوه‌های مایه‌زنی شده درون جعبه‌های پلاستیکی درب داری قرار داده شدند. به منظور تامین رطوبت از پنهان‌های استریل آغشته به آب مقطر سترون استفاده و میوه‌ها در دمای ۲۵ درجه سانتیگراد نگهداری شدند. میوه‌های شاهد، با همین روش و با آب مقطر سترون تلقیح شده و در شرایط مشابه با تیمار نگهداری شدند. ده روز بعد از مایه‌زنی، میوه‌های شاهد و تیمار، از نظر ایجاد یا عدم علائم بیماری، مورد ارزیابی قرار گرفتند.

### آزمون سنجش حساسیت به آنتی‌بیوتیک

در آزمون حساسیت به آنتی‌بیوتیک‌ها از آنتی‌بیوتیک‌های مختلفی استفاده شد. این آنتی‌بیوتیک‌ها شامل جنتامایسین ( $10$  میلی‌گرم در دیسک)، کانامایسین ( $30$  میلی‌گرم در دیسک)، سیپروفلوکساسین ( $5$  میلی‌گرم در دیسک)، کلارام芬یکل ( $30$  میلی‌گرم در دیسک)، تتراسایکلین ( $30$  میلی‌گرم در دیسک)، آموکسی‌سیلین ( $10$  میلی‌گرم در دیسک)، پنی‌سیلین ( $30$  میلی‌گرم در دیسک)، کلوکسازیلین ( $5$  میلی‌گرم در دیسک)، آمیکاسین ( $10$  میلی‌گرم در دیسک) و نیتروفورانتسوئین ( $30$  میلی‌گرم در دیسک) بود. در بررسی نتایج، وجود هر گونه هاله‌ی بازدارنده بعنوان حساسیت به آنتی‌بیوتیک و عدم ایجاد آن بعنوان مقاومت تلقی گردید.

مشاهده علائم مشابه با بیماری بلاست گردو، ردیابی و مطالعه بیماری در استان ضروری به نظر می‌رسید. تحقیق حاضر با هدف تشخیص بیماری در استان و نیز مطالعه‌ی تنوع احتمالی ژنتیکی سویه‌های *Xaj* با استفاده از روش rep-PCR انجام شد.

### مواد و روش‌ها

طی بهار و تابستان سال‌های ۱۳۹۰ و ۱۳۹۱ درختان گردو در مناطق مختلف استان کهگیلویه و بویر احمد مورد بازدید قرار گرفته و از برگ و میوه‌ی دارای علائم مشابه بلاست یاکتریایی نمونه برداری صورت گرفت (شکل ۱). نمونه‌ها درون کیسه‌های کاغذی و سپس کیسه‌های پلاستیکی قرار گرفته و در شرایط خشک و خنک به آزمایشگاه منتقل گردید. جهت جداسازی عامل بیماری، ابتدا برگ‌ها و میوه‌ها توسط آب روان، بخوبی شستشو و به مدت دو دقیقه در هیپو کلریت سدیم تجاری  $0.5\%$  ضد عفنونی شده و سپس توسط آب مقطر سترون شستشو شدند (Schaad et al., 2001). قسمت‌هایی از برگ‌ها و میوه‌های دارای علائم در حد فاصل بین ناحیه بیمار و آلوده در آب مقطر سترون عصاره گیری شد. سپس به وسیله یک لوب، در شرایط استریل، سوسپانسیون روی محیط کشت‌های (Nutrient agar) YDC (Yeast extract-dextrose-CaCO<sub>3</sub>) و NA agar کشت داده شد. تشتک‌ها در دمای ۲۸ درجه سانتی گراد تا ظهور پرگنه‌های باکتریایی نگهداری گردید. پس از ۴۸-۷۲ ساعت، تک پرگنه‌های ریز و نسبتاً برجسته و زرد رنگ انتخاب و جهت خالص‌سازی باکتری، مجدداً روی محیط کشت NA به صورت مخطط کشت داده شد. در مجموع ۲۵ جدایه‌ی گرم اولیه بعنوان *Xaj* تلقی گردید. این جدایه‌ها به منظور آزمون‌های تکمیلی فنوتیپی، ژنتیکی و بیوشیمیایی، در یخچال، درون آب مقطر سترون نگهداری شدند. آزمون‌های فنوتیپی شامل آزمون اکسیداز، فوق

۵ میکرولیتر (5U/ $\mu$ L)، Taq DNA Polymerase (10 $\mu$ M) میکرولیتر از هریک از Primer F و Primer R (10 $\mu$ M)، ۳ میکرولیتر سوسپانسیون جوشانده ای باکتری و ۱۵/۲۵ میکرولیتر آب م قطر ستون بود.

برای بررسی نتایج واکنش PCR، ژل آگاروز ۱٪ تهیه و محصولات بدست آمده، الکتروفورز شدند (Sambrook et al., 1989). به این منظور، ۱۰ میکرولیتر محصول PCR با ۲ میکرولیتر از رنگ پیش رو، مخلوط و درون چاهک ها ریخته شد. جهت تخمین اندازه قطعات DNA ای تکثیر شده، از مارکر استاندارد ۱۰۰ جفت بازی (شرکت Fermentas، آلمان)، که به همراه نمونه ها در ژل بارگذاری شده بود استفاده شد. الکتروفورز به مدت یک ساعت در ولتاژ ثابت ۷۰ انجام شد. پس از الکتروفورز، با استفاده از دستگاه Gel documentation از ژل عکسبرداری گردید.

#### آنالیز داده های ژنتیکی

Numerical Taxonomy and Multivariate Analysis System (Ntysys-pc Rohlf, 2.02) فاصله ژنتیکی جدایه ها رسم گردید (Rohlf, 2000). فاصله یا شباهت ژنتیکی بین افراد بر اساس مارکرهای مولکولی، به صورت وجود یا عدم وجود نوار در ژل مشخص شد. تجزیه خوش ای بر اساس روش مراتبی (Hierachical Technique) انجام و برای بررسی فاصله واقعی میان کلاسترها از روش Unweighted Pair-Group method (UPGMA) و ضریب تشابه جاکارد using Arithemtic Average (J) استفاده گردید.

#### نتایج

از برگ و میوه های درختان بیمار با علائم سوختگی با حاشیه زرد رنگ روی برگ و سیاه شدگی روی میوه (شکل ۱)، تعداد ۲۵ جدایه باکتریایی گرم منفی، زردرنگ با حاشیه صاف، مدور و براق روی محیط

#### بررسی خصوصیات ژنتیکی جدایه ها تهیه سوسپانسیون باکتریایی

به این منظور از کشت ۲۴ ساعته باکتری، سوسپانسیونی به غلظت  $OD_{600}=1$  ( $10^8$  cfu/ml) تهیه شده و به مدت ۱۰ دقیقه در حمام بن ماری و بلا فاصله به مدت یک دقیقه روی یخ قرار گرفت. پس از آن ۱۲۰۰ سانتریفیوژ شده و از فاز رویی آن مستقیماً جهت انجام آزمون PCR استفاده گردید (Yaish, 2006).

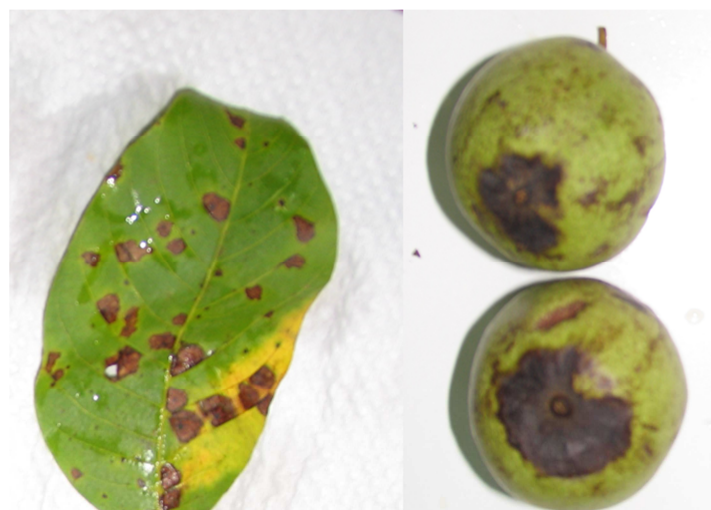
#### آزمون rep-PCR

جهت بررسی تنوع ژنتیکی جدایه های *Xaj*، از روش rep-PCR و آغازگرها (Versalovic et al., 1997) BOX و ERIC1/ERIC2 برای تکثیر قطعات، بین نواحی محافظت شده rDNA استفاده گردید. تراکم آغازگرها مورد استفاده در روش rep-PCR (معضول شرکت سیناژن- ایران)، (REP 1R)IIIICGICGICATCIGGC و شامل: REP-PCR (REP 2)ICGICTTATCIGGCCTAC و (ERIC1R)ATGTAAGCTCTGGGGATTCA و (ERIC2) AAGTAAGTGACTGGGTGAGCG در ERIC-PCR (BOX A1R) CTACGGCAAGGCGACGCTGACG برای BOX-PCR بود (Versalovic et al., 1997). جرخه دمایی مورد استفاده در این روش شامل: یک سیکل با دمای واسرشتگی اولیه در دمای ۹۵ °C و به مدت ۳ دقیقه؛ ۳۵ سیکل با دمای واسرشتگی ۹۴ °C به مدت ۱ دقیقه، چسیدن آغازگرها به مدت ۱ دقیقه و دماهای ۴۲ °C، ۵۲ °C، ERIC و ۵۰ °C برای آغازگرها BOX، امتداد آغازگرها REP و ۷۲ °C و نهایتاً یک سیکل امتداد نهایی ۲ دقیقه در دمای ۷۲ °C به مدت ۴ دقیقه در دمای ۷۲ °C انجام شد. مقدار مواد مورد نیاز در واکنش ۲۵ میکرولیتری شامل: ۱/۵ میکرولیتر PCR buffer 10X، ۱/۲۵ میکرولیتر dNTPs (10 $\mu$ M)، ۰/۵ MgCl<sub>2</sub> (50mM)

## آزمون سنجش حساسیت به آنتی بیو تیک

در آزمون حساسیت به آنتی بیوتیک‌ها براساس وجود یا عدم هاله بازدارنده، جدایه‌ها در دو گروه حساس و مقاوم به آنتی بیوتیک قرار گرفتند. تمام جدایه‌ها به آنتی بیوتیک‌های جنتامایسین (۱۰ میلی گرم در دیسک)، کانامایسین (۳۰ میلی گرم در دیسک)، آمیکاسین (۱۰ میلی گرم در دیسک)، سپیروفلوکسازین (۵ میلی گرم در دیسک)، کلارام芬یکل (۳۰ میلی گرم در دیسک) و تتراسایلکلین (۳۰ میلی گرم در دیسک) حساس و به سایرین مقاوم بودند (جدول ۳).

NA جداسازی گردید. مشخصات جدایه ها در جدول یک آمده است. کلیه ای جدایه ها هوای اجباری، کاتالاز مثبت و قادر به رشد در محیط های حاوی نمک طعام دو درصد بودند. همچنین قادر به هیدرولیز نشاسته، تولید لوان، تجزیه ای توئین<sup>۸۰</sup> و ذوب ژلاتین بودند. جدایه ها روی برگ های گیاه شمعدانی قادر به ایجاد واکنش فوق حساسیت بودند. هیچکدام از جدایه ها قدرت تولید رنگدانه فلورسنست بر روی محیط کشت KB را نداشتند. سایر نتایج در جدول ۲ ثبت شده است.



شکل ۱- علائم بیماری بلایت باکتریایی گردو بر روی میوه و برگ گیاه آلوده در سی سخت

Xaj شناسایی شده بودند، در آزمون rep-PCR مورد استفاده قرار گرفتند (شکل های ۳ تا ۵). آنالیز عددی خصوصیات ژنتیکی جدایه های Xaj با استفاده از سه آغازگر REP، ERIC و BOX، با استفاده از نرم افزار Ntssys-pc version 2.02 بطور جداگانه و نیز ترکیبی انجام شد.

در آنالیز نقوش الکتروفورزی حاصل از تکثیر قطعات بین نواحی حفاظت شده، با استفاده از آغازگر REP و در آزمون rep-PCR، جدایه‌های باکتریایی در سطح تشابه ۹۳ درصد به دو گروه تقسیم شدند. گروه یک شامل جدایه‌های B2، B1، C2، Y4، Y6، C9، C8، C1، Y2، Y1 و C5 می‌باشد.

## آزمون اثبات بیماری زاید روی میوه گرد و

در آزمون بیماری زایی روی گردو بعد از ده روز لکه‌های سیاه مدوری روی میوه‌ها ظاهر گردید. لکه‌ها ابتدا به صورت نکروز همراه با ترشحات سیاه رنگی روی میوه ظاهر گردیدند، سپس این لکه‌ها گسترش یافته و به صورت لکه‌های سیاه بزرگی مدوری بر روی میوه ظاهر گردیدند. طی همین مدت در گیاه شاهد علایم مشاهده نگردید (شکا ۲).

پرنسپلز، خصوصیات ڈنوتیں

بیست و پنج جدایه‌ی باکتریایی که براساس آزمون‌های بیوشیمیایی، فنوتیپی و بیماریزایی بنام

،C2،Y4،Y6،C9،C8،C1،Y2،Y1،C7،C6،Y5،D4،D3،C3،Y4،B3،B2،B1  
،C7،C6،Y5،D4،D3،C3،Y4،B3،B2،B1  
جدا از C4 و D1 و C4 و D1 و C4 و D1 به تنها بودند (شکل ۶).  
در گروه دوم قرار گرفت (شکل ۷).

،Y3،B5،C7،C6،D4،D3،C3،Y4،B3  
و گروه دوم شامل جدا از C4 و D1  
C4 بودند (شکل ۶).

با استفاده از آغازگر BOX، جدا از ۸۹ درصد به دو گروه تقسیم شدند، که در گروه یک

جدول ۱- مشخصات جدا از برگ و میوه درختان گرد و استان کهگیلویه و بویراحمد

**Table1. Characteristics of *Xanthomonas arboricola* pv. *juglandis*, isolated from walnut's leaf and fruit in Kohgilouye and Boyer Ahmad province**

Code of isolate	Plant tissue	Location of sampling
Y2	Leaf	Yasouj
Y5	Fruit	Yasouj
Y6	Fruit	Yasouj
C4	Leaf	Seasakht
C2	Leaf	Seasakht
D1	Leaf	Dehdasht
B2	Leaf	Bahmaee
B4	Fruit	Bahmaee
B3	Fruit	Bahmaee
B1	Leaf	Bahmaee
Y4	Fruit	Yasouj
C3	Leaf	Seasakht
C1	Leaf	Seasakht
D2	Leaf	Dehdasht
C7	Fruit	Seasakht
D3	Fruit	Dehdasht
D4	Leaf	Dehdasht
Y1	Leaf	Yasouj
C6	Fruit	Seasakht
C5	Fruit	Seasakht
C8	Leaf	Seasakht
C9	leaf	Seasakht
Y3	leaf	Yasouj
Y7	Fruit	Yasouj
B5	Leaf	Bahmaee

جدول ۲- خصوصیات فنوتیپی جدایه‌های عامل سوختگی باکتریایی گردو در استان کهگیلویه و بویر احمد

**Table 2. Phenotypic characteristics of *Xanthomonas arboricola* pv. *juglandis* isolates, casual agent of walnut bacterial blight in Kohgilouye and Boyer Ahmad province.**

Test name	Result	Test name	*Result
3% NaCl tolerance	-	Gram reaction(3% KOH)	-
Starch hydrolysis	+	Oxidative growth	+
Endol production	-	Oxidase reaction	-
Levan production	+	Xanthomonadin production	+
Glucose	+	catalase	+
D-alanine	-	lecitinas	+
L- arabinose	-	H2S production from cystein	+
L- asparagines	+	Gelatin hydrolysise	+
Cellobiose	+	Arginine dehydrolase	-
D- ribose	+	Tween hydrolysis	+
D- sorbitol	-	Asculine hydrolysis	+
L-rhamnose	-	Geranium hypersensitive	+
D- mannitol	-	urease	-
L- serin	+	Growth at 35°C	+
D- melibiose	+	Fluorescent on KB	-
L- arabitole	+	Yellow pigment on YDC	+
Sucrose	+	2%NaCl tolerance	+
Mannose	+	Swarming movement	+

\*+ تولید واکنش؛ - عدم واکنش

\*+ Reaction was seen; - reaction was not seen

آنالیز ترکیبی خصوصیات ژنتیکی با سه آغازگر ۸۲ ERIC و BOX، REP جدایه‌ها را در سطح احتمال درصد در دو گروه قرار داد که گروه یک شامل Y1، Y2، C1، C2، C3، C4، B3، B2، B1، C2، Y4، Y6، C9، C8، C1، C4، D1، Y3، B5، C4، D2، C7، C6، Y5، D4، D3 بود و تنها جدایه B4 در گروه دو قرار گرفت (شکل ۹).

با استفاده از آغازگر ERIC، جدایه‌ها در سطح تشابه ۷۳ درصد در دو گروه قرار گرفتند که در گروه یک جدایه‌های Y1، Y2، C1، C2، Y4، Y6، B4، C8، C1، C7، C6، Y5، D4، C5، D3، C3، Y4، B3، B2، B1، C4، D1، Y3، B5، C4، D2 و در گروه دوم جدایه C9 قرار گرفت (شکل ۸).

جدول ۳- نتایج آزمون آنتی‌بیوگرام سویه‌های *Xanthomonas axonopodis* pv. *juglandis* جداسده از مناطق مختلف استان کهگیلویه و بویراحمد

**Table 3. Antibiogram results of *Xanthomonas arboricola* pv. *juglandis* isolated from various area in Kohgilouye and Boyer Ahmad province**

Antibiotic	result*
tetracyclin	+
chloramphenicol	+
amoxicillin	-
nitrofurantoin	-
amikacin	+
cloxacillin	-
kanamycin	+
cephalexin	-
gentamycin	+
ciprofloxacin	+
penicillin	-

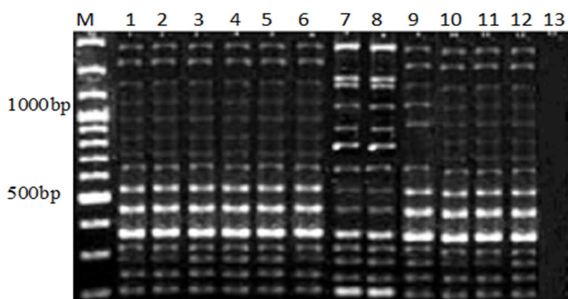
\*: +: جلوگیری از رشد (حساس)، -: عدم جلوگیری از رشد ( مقاوم).

\*+ growth inhabitation (susceptible), - growth as usual (resistance)



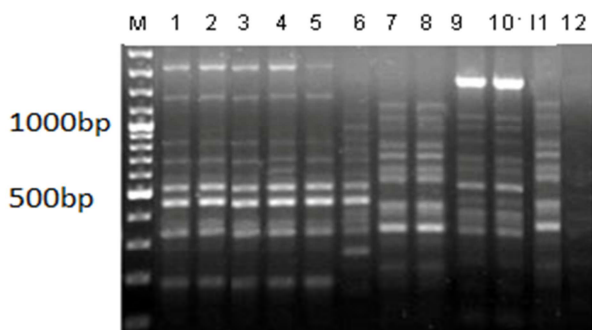
شکل ۲- نتیجه آزمون بیماریزایی سویه *Xanthomonas axonopodis* pv. *juglandis*، جداسده از برگ گردوی سی سخت (C1): سمت راست شاهد، سمت چپ تیمار

**Figure 2. Pathogenicity test result of *Xanthomonas arboricola* pv. *juglandis*, isolated from walnut leaf in Seesakht (C1); right, control; left treatment.**



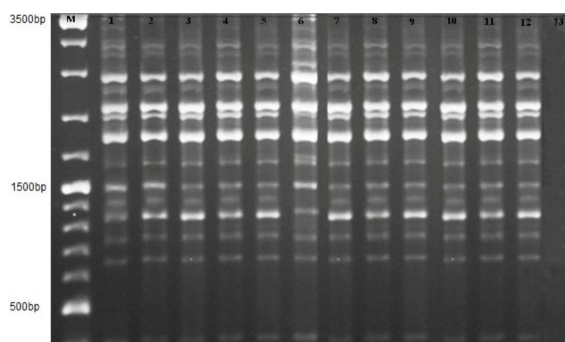
شکل ۳- اثر انگشت ژنتیکی جدایه‌های آغازگر *X. arboricola* pv. *juglandis* با استفاده از آغازگر REP، مارکر مولکولی ۱۰۰ جفت بازی؛ لاین ۱، Y1؛ لاین ۲، Y2؛ لاین ۳، B2؛ لاین ۴، B3؛ لاین ۵، B1؛ لاین ۶، C6؛ لاین ۷، C5؛ لاین ۸، C2؛ لاین ۹، C7؛ لاین ۱۰، C8؛ لاین ۱۱، D4؛ لاین ۱۲، Y7 و لاین ۱۳، آب مقطر استریل (کنترل منفی).

Figure 3. Genetic fingerprint of *Xanthomonas arboricola* pv. *juglandis* isolates, using REP primers: M, 100bp molecular weight marker; lane1, Y1; lane2, Y2; lane3, B2; lane4, B3; lane5, D3; lane6, C6; lane7,C5; lane8, C2; lane9, C7; lane10, C8; lane11, D4; lane12, Y7 and lane13, distilled water (negative control).



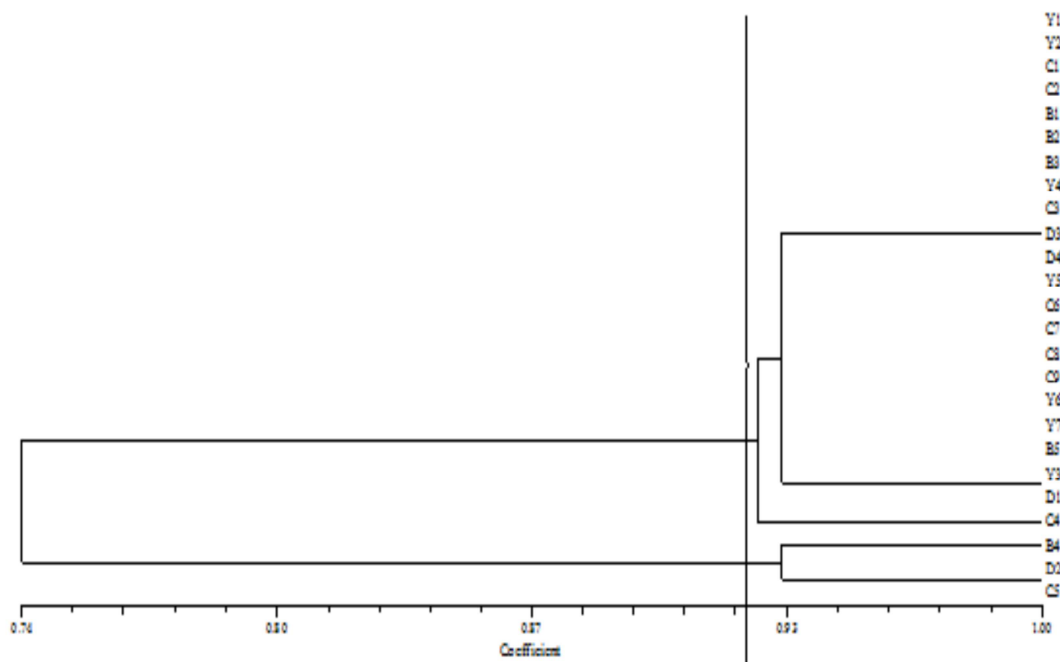
شکل ۴- اثر انگشت ژنتیکی جدایه‌های آغازگر *X. arboricola* pv. *Juglandis* با استفاده از آغازگر ERIC، مارکر مولکولی ۱۰۰ جفت بازی؛ لاین ۱، Y1؛ لاین ۲، Y2؛ لاین ۳، Y3؛ لاین ۴، C1؛ لاین ۵، B1؛ لاین ۶، C3؛ لاین ۷، C5؛ لاین ۸، D3؛ لاین ۹، C9؛ لاین ۱۰، C7؛ لاین ۱۱، Y7 و لاین ۱۲، آب مقطر استریل (کنترل منفی).

Fig 4. Genetic fingerprint of *Xanthomonas arboricola* pv. *Juglandis* isolates, using ERIC primers: M, 100bp molecular weight marker; lane1, Y1; lane2, Y2; lane3, Y3; lane4, C1; lane5, B1; lane6, C3; lane7, C5; lane8, D3; lane9, C9; lane10, C7; lane11, Y7 and lane12, distilled water (negative control).



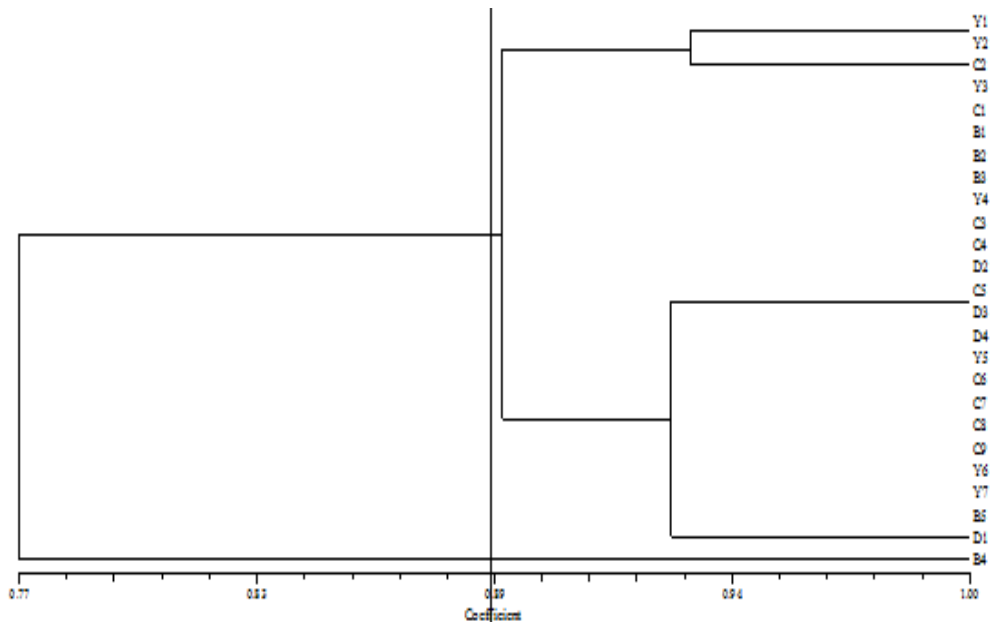
شکل ۵- اثر انگشت ژنتیکی جدایه‌های آغازگر *X. arboricola* pv. *juglandis* با استفاده از آغازگر BOX، مارکر مولکولی ۱۰۰ جفت بازی؛ لاین ۱، Y3؛ لاین ۲، C1؛ لاین ۳، B2؛ لاین ۴، B1؛ لاین ۵، D4؛ لاین ۶، Y5؛ لاین ۷، C4؛ لاین ۸، C3؛ لاین ۹، C6؛ لاین ۱۰، D3؛ لاین ۱۱، Y5 و لاین ۱۲، Y6 و لاین ۱۳، آب مقطر استریل (کنترل منفی).

Figure 5. Genetic fingerprint of *Xanthomonas arboricola* pv. *Juglandis* isolates, using BOX primer: M, 100bp molecular weight marker; lane1, Y3; lane2, C1; lane3, B2; lane4, B1; lane5, D4; lane6, B4; lane7, C3; lane8, C4; lane9, C6; lane10,D3; lane11, Y5; lane12, Y6 and lane13, distilled water (negative control).



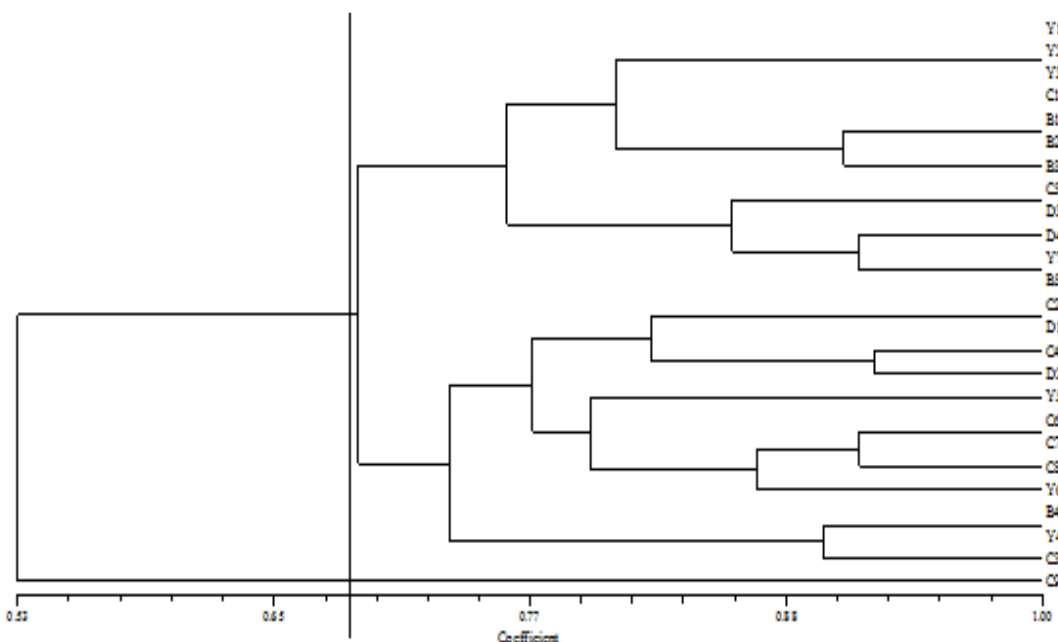
شکل ۶- دندروگرام جدایه‌های rep-PCR در آزمون *Xanthomonas arboricola* pv. *juglandis* با استفاده از آغازگر REP. مشخصات جدایه‌ها در جدول ۱ آمده است.

Figure 6. Dendrogram related to *Xanthomonas arboricola* pv. *juglandis* isolates using REP primers in rep-PCR test. Characteristics of isolates were shown in table 1.



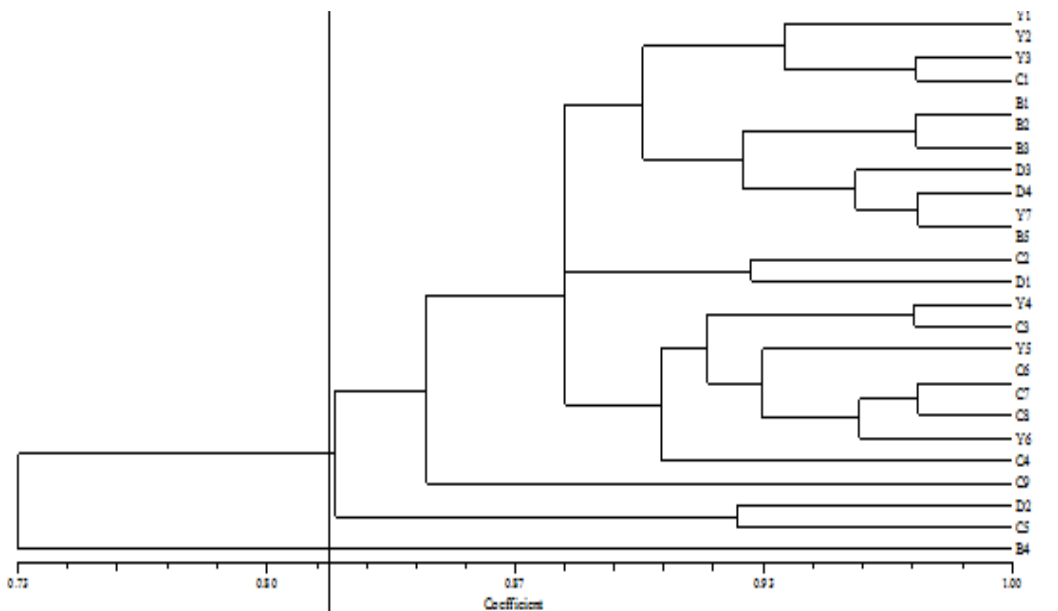
شکل ۷- دندروگرام جدایه‌های rep-PCR در روش rep-PCR با استفاده از آغازگر Box. مشخصات جدایه‌ها در جدول ۱ آمده است.

Fig 7. Dendrogram related to *Xanthomonas arboricola* pv. *juglandis* isolates, using BOX primers in rep-PCR test. Characteristics of isolates were shown in table 1.



شکل ۸- دندروگرام جدایه‌های rep-PCR در آزمون *X. arboricola* pv. *juglandis* با استفاده از آغازگر ERIC مشخصات جدایه‌ها در جدول ۱ آمده است.

Figure 8. Dendrogram related to *Xanthomonas arboricola* pv. *juglandis* isolates using ERIC primers in rep-PCR test. Characteristics of isolates were shown in table 1.



شکل ۹- دندروگرام ترکیبی جدایه‌های rep-PCR در آزمون *X. arboricola* pv. *juglandis* با استفاده از آغازگر REP و ERIC و BOX مشخصات جدایه‌ها در جدول ۱ آمده است.

Figure 9. Dendrogram related to *Xanthomonas arboricola* pv. *juglandis* isolates using BOX, ERIC and REP primers in rep-PCR test. Characteristics of isolates were shown in table 1.

نتایج Mohammadpour (2002) مغایر است. وی در بررسی خود در استان آذربایجان شرقی جدایه های عامل بلایت گردو را اکسیداز مثبت گزارش کرد. در آزمون فوق حساسیت، سوسپانسیون باکتری به درون برگ های شمعدانی تزریق شد. بعد از ۴۸-۲۴ ساعت لکه های سوخته سفیدرنگ و خشکی ایجاد شد که نشان دهنده مثبت بودن آزمون و در نتیجه تاییدی بر بیماری زا بودن جدایه های مذکور است.

نتایج آزمون های فنوتیپی نشان داد که کلیه جدایه ها از لحاظ خصوصیات فنوتیپی نسبتاً یکنواخت بوده و تنها در مواردی اختلافات اندکی در خصوصیات تغذیه ای یا بیوشیمیایی داشتند. این تفاوتها بسیار ناچیز بوده و موجب تمایز جدایه ها به گروه های مختلف ننگ دید. آزمون بیماری زایی اصلی ترین و مهمترین آزمون به منظور تعیین بیماری زا یا غیر بیماری زا بودن باکتری های جدایه های مورد مطالعه، روی میوه های گردو انجام گرفت که علائم بیماری بعد از ۱۰ روز به صورت نقاط سیاه و مدوری بر روی میوه های گردو ظاهر گردید. این نتیجه نشان می دهد که جدایه های مورد بررسی متعلق به پاتووار *X. juglandis* a. بودند، زیرا براساس تعریف اولیه پاتووار، تشخیص قطعی هر پاتووار تنها از طریق انجام آزمون روی میزان اصلی و اولیه امکان پذیر است (Dye et al., 1980).

در آزمون حساسیت نسبت به آنتی بیوتیک، کلیه جدایه ها نسبت به آنتی بیوتیک های آمیکاسین، کاناماکسین، کلرامفینیکل، سپروفلوکساسین و تتراسایکلین حساس بودند. بنابراین در اجرای برنامه های تلفیقی کنترل بیماری، می توان در کنار سایر روش ها، این آنتی بیوتیک ها را نیز مورد استفاده قرار داد. در مقابل همه جدایه ها نسبت به آنتی بیوتیک های آموکسی سیلین، کلوکساسیلین، نیتروفورانتوئین، سفالو سین و پنی سیلین مقاوم بودند. اکثر این آنتی بیوتیک ها از گروه بازدارنده های سنتز دیواره سلولی (ایه پپید و گلیکان) هستند. این نتیجه دور از ذهن نبود زیرا

## بحث

طی بهار و تابستان سال های ۱۳۹۰ و ۱۳۹۱ درختان گردو در مناطق مختلف استان کهگیلویه و بویر احمد شامل یاسوج، سی سخت، دهدشت و بهمعی مورد بازدید قرار گرفته و از برگ و میوه های دارای علائم مشابه بلایت باکتریایی نمونه برداری صورت گرفت. از بافت های مورد بررسی ۲۵ جدایه بدست آمد که همگی متحرک، گرم منفی، هوایی اجباری، اکسیداز منفی و کاتالاز مثبت بودند. همچنین از قندهای سلوبیوز، گلوکرز و مانوز، اسید تولید کردند. جدایه ها قادر به هیدرولیز H<sub>2</sub>S از سیستئین بوده و روی محیط کشت YDC پرگنه های زرد رنگ ایجاد کردند. جدایه ها براساس آزمون های افتراقی (Mahsoul et al., 1989; Azadbakht et al., 2002; Golmohammadi et al., 2002; Gardan et al., 2000; Ashrafi et al., 2010; 2006 Fahy and Persley, 1983; Schaad et al., 2001) شامل عدم تولید رنگ فلورسنت روی محیط کشت KB، تولید پرگنه های لعابی و گنبدهای روی محیط کشت NAS، استفاده از قندها و اسید آمینه های گلوکرز، سوکروز، دی ریبوز، دی مانوز، ال سرین، سلوبیوز، ال آراینوز، ال آسپاراژین، دی ملی بیوز، ال آرایتول و عدم استفاده از دی مانیتول، دی آلانین، دی سوربیتول، ال رامنوز و دی آلانین بعنوان *Xaj* تشخیص داده شدند. در برخی آزمون ها تفاوت هایی میان نتایج بدست آمده در تحقیق حاضر و یافته های سایر پژوهندگان به چشم می خورد. بعنوان مثال در بررسی های انجام شده توسط Mahsoul et al. (1989) جدایه ها در هیدرولیز نشاسته و توئین ۸۰ با همدیگر تفاوت داشتند، در حالیکه در مطالعه حاضر، جدایه ها از این جهت تفاوتی با یکدیگر نشان نمی دادند. همچنین در پژوهش Golmohammadi et al. (2002) بین جدایه ها در قابلیت هیدرولیز نشاسته، ژلاتین و کازائین، تحمل نمک طعام و استفاده از سوربیتول و آل-آلانین تفاوت وجود داشت. علاوه بر این نتایج آزمون اکسیداز در تحقیق حاضر منفی ارزیابی شد که با

جدایه‌ی *X. c. citri* که از میزبان‌های مختلف در مناطق شرقی مالری جداسازی شده بود با استفاده از rep-PCR به کلاسترها مختلفی تقسیم بندی شدند که با منطقه جغرافیایی آن‌ها تطابق داشت (Arshadi et al., 2013). از طرف دیگر، نتیجه‌ی پژوهش حاضر با یافته‌های تعدادی از پژوهش‌های پژوهندگان ایرانی روی *Xaj* و Saeedi پاتووارها و گونه‌های نزدیک با *Xaj* تطابق دارد. *X. a.* Madani et al. (2010) جدایه‌ی *malvacearum* را که از بوته‌های پنهان در استان‌های سمنان و گلستان جمع‌آوری شده بود با آزمون rep-PCR مورد مطالعه قرار داده و اذعان نمودند که هیچ گروه‌بندی یا اختلاف ژنتیکی معنی داری میان جدایه‌های این دو استان وجود نداشت. در تحقیقی دیگر ۲۵ جدایه‌ی *X. c. citri* از استان‌های فارس، هرمزگان، کرمان و سیستان و بلوچستان با rep-PCR ارزیابی شدند. نتایج آن‌ها نیز نشان داد غیر از جدایه‌های سیستان و بلوچستان که در گروهی متمایز قرار گرفتند، سایر جدایه‌ها با یکدیگر اختلاف ژنتیکی چندانی نداشته و در یک کلاستر واحد قرار گرفتند. آن‌ها علت جداشدن سویه‌های سیستان و بلوچستان از سایر سویه‌ها را شرایط اقلیمی خاص این استان عنوان نمودند (Rezaei et al., 2012). با توجه به یافته‌های این تحقیق و پژوهش‌های مشابه، می‌توان چنین نتیجه گیری نمود علیرغم توانایی rep-PCR برای جداسازی سویه‌های مختلف *Xaj* که از کشورهای مختلف جمع‌آوری شده‌اند، استفاده از این روش احتمالاً برای تمایز سویه‌های متعلق به یک منطقه جغرافیایی خاص مانند یک استان، مناسب بنظر نمی‌رسد.

### قدرتداهن

نویسنده‌گان مقاله‌ی حاضر، بدینوسیله از حمایت و همکاری‌های معاونت محترم پژوهشی و فناوری دانشگاه آزاد اسلامی واحد جهرم، از جهت فراهم نمودن شرایط مناسب برای انجام این پژوهه سپاسگزاری می‌نمایند.

بسیاری از باکتری‌های گرم منفی به دلیل داشتن غشاء خارجی حساسیت کمتری نسبت به این گروه از آنتی بیوتیک‌ها دارند (Schaad et al., 2001).

در پژوهش حاضر بیست و پنج جدایه *Xaj* در آزمون rep-PCR مورد استفاده قرار گرفتند. استفاده از این نشانگرها، منجر به تکثیر قطعاتی از DNA با اندازه‌های مختلف در جدایه‌ها گردید.

در آزمون rep-PCR، آنالیز نقوش الکتروفورزی حاصل از تکثیر قطعات بین نواحی حفاظت شده، با استفاده از آغازگرهای REP، ERIC و BOX، جدایه‌های باکتریایی به ترتیب در سطح تشابه ۹۳٪، ۸۹٪ و ۷۳٪ به دو گروه تقسیم شدند. آنالیز ترکیبی خصوصیات، ژنتیکی *Xaj*، با هر سه آغازگر REP، ERIC و BOX نیز جدایه‌ها را در سطح احتمال ۸۲ درصد در دو گروه قرار داد.

در مجموع، با دقت در نقوش حاصل از واکنش rep-PCR و آنالیز نرم افزاری آن‌ها، تشابه بالایی میان جدایه‌ها مشاهده شد. نتایج حاصله نشان داد که با استفاده از آغازگرهای سه گانه rep-PCR به تنها ی و یا بصورت ترکیبی، جداسازی سویه‌های مختلف *Xaj* از یکدیگر در استان کهگیلویه و بویراحمد امکان پذیر نیست. بر همین اساس می‌توان نتیجه گرفت که جدایه‌های مختلف *Xaj* در استان مذکور، از لحاظ خصوصیات ژنتیکی براساس rep-PCR و آغازگرهای REP، ERIC و BOX ت نوع بسیار پائینی دارند. این نتیجه با یافته‌های برخی پژوهندگان مغایرت دارد. عنوان مثال Scortichini et al. (2011) با مطالعه ۶۱ سویه باکتری که از سراسر دنیا جمع‌آوری شده بود، دریافتند که براساس rep-PCR سویه‌ها به گروه‌های متمایزی دسته بندی می‌شوند که با منطقه جغرافیایی آن‌ها تطابق دارد. آن‌ها چنین نتیجه گیری نمودند که احتمالاً در این مناطق گیاهچه‌های محلی تولید و استفاده شده است و به همین دلیل سویه‌های خاصی با این گیاهان تطابق یافته‌اند (Scortichini et al., 2001).

## REFERENCES

- Amani, B. 1974. Bacterial blight of walnut. Proceedings of 5<sup>th</sup> Iranian plant protection congress. P: 62. (in Persian, with English abstract )
- Amani, B. 1977. Bacterial blight of walnut in Iran. Iranian journal of Plant Pathology, 13: 15-23. (in Persian, with English abstract)
- Arshadi, F., Kamaruzaman, S. and Yahya Bin, A.2013. Genetic diversity of *Xanthomonas citri* subsp. *citri*, causal agent of citrus canker. Journal of Plant Protection Research, 53: 312-316.
- Ashrafi, J., Keshavarzi, M. and Hasan zade, N. 2010. Recognition of walnut bacterial blight agent and its affected area in Ilam province. Proceedings of 19<sup>th</sup> Iranian plant protection congress. P: 404.
- Azad Bakht, N., Golmohammadi, M., Rahimian, H. and Mobaraki, D. 2006. Report of walnut bacterial blight in Lorestan province. Proceedings of 17<sup>th</sup> Iranian plant protection congress, P: 318. ( in Persian)
- Behdad, A.1981. Disease of Iranian Fruit Trees. Iranian pests and plant disease protection Institute press. P: 397. (in Persian)
- Belisario, A. 1997. The principal Diseases of walnut in Italy. Horticultural Abstracts, 67: 482.
- Bradbury, J.F. 1986. Guide to plant pathogenic bacteria. CAB International. 198-260.
- Dye, D.W., Bradbury, J.F., Goto, M., Hayward, A.C., Lelliott, R.A., Schroth, M.N. 1980. International standards for naming pathovars of phytopathogenic bacteria and a list of pathovar names and pathotypes. Review of Plant Pathology, 59: 153–168.
- Fahy, P. C., and Persley, G. J. 1983. Plant bacterial diseases. A diagnostic guide. Academic Press Australia. 316pp.
- Gardan L., Dauga C., Prior P., Gillis M., and Saddler G.S. 2000. *Acidovorax anthurii* sp. nov., a new phytopathogenic bacterium which causes bacterial leaf-spot of anthurium. International Journal of Systematic and Evolutionary Microbiology 50: 235–246.
- Golmohammadi, M., Alizade, A., and Rahimian, H.2002. Homogeneity of Walnut bacterial blight isolates in the northern and central provinces of Iran. Iranian plant protection journal, 38: 11-20. (in Persian with English abstract).
- Lang, M., and Evans, K. 2010. Epidemiology and status of walnut blight in Australia. Journal of Plant Pathology, 92: 49-55.

- Mahsoul, F., Rahimian, H., Majidi, A., and Zakeri, Z. 1989. Walnut bacterial blight in Mazandaran province. Proceedings of 9<sup>th</sup> Iranian plant protection congress. P: 148. (in Persian)
- Mohammad pour, M. 2004. Occurrence of walnut bacterial blight in Azerbaijan. Proceedings of 16<sup>th</sup> Iranian plant protection congress. P: 386.
- Pierce, N. B. 1901. Walnut bacteriosis. Journal of Botany, 31: 272-278.
- Rezaei, M., Shams-Bakhsh, M., and Alizadeh, A. 2012. Genetic Diversity Among *Xanthomonas citri* Subsp. *citri* Strains in Iran. Journal of Plant Protection Research, 52:1-9.
- Rohlf, F.J. 2000. NTSYS-pc: numerical taxonomy and multivariate analysis system version 2.1. Exeter Publishing Setauket, New York.
- Saeedi Madani, A., Marefat, A., Behboudi, K. and A. Ghasemi, A. 2010. Phenotypic and genetic characteristics of *Xanthomonas citri* subsp. *malvacearum*, causal agent of cotton blight, and identification of races in Iran. Australasian Plant Pathology. 39: 440–445
- Sambrook J., Fritsch, E.F., and Maniatis, T. 1989. Molecular cloning: a laboratory manual, Cold Spring Harbor Laboratory Press, New York.
- Schaad, N. W., Jones, J. B., and Chun, W. 2001. Laboratory guide for identification of plant pathogenic bacteria. APS press, Minnesota. 373pp.
- Scorticchini, M., Marchesi, U and Diprospero, P. 2001. Genetic diversity of *Xanthomonas arboricolapv. juglandis* (synonyms: *X. campestris* pv. *juglandis*; *X. juglandis* pv. *juglandis*) strains from different geographical areas shown by repetitive polymerase chain reaction genomic fingerprinting. Journal of Phytopathology, 149: 325-332.
- Soltani, J., and Alizade, A. 2002. Genotypic diversity of walnut trees to walnut bacterial blight in Hamadan province. Proceedings of 15<sup>th</sup> Iranian plant protection congress. P: 243. (in Persian)
- Vauterin, L., Hoste, B., Kersters, K., Swings, J., 1995. Reclassification of *Xanthomonas*. International Journal of Systematic Bacteriology, 45: 472-489.
- Versalovic, J., Koeuth, T., & Lupski, J. 1997. Distribution of repetitive DNA sequences in eubacteria and application to fingerprinting of bacterial genomes. Journal of Nucleic Acids Research, 19(24): 6823-6831.
- Yaish, M. W. F. 2006. Genetic mapping of quantitative resistance to race 5 of *Pseudomonas syringae* pv *phaseolicola* in common bean. Euphytica, 152: 397-404.

## Genotypic characteristics of *Xanthomonas arboricola* pv. *juglandis*, causal agent of walnut bacterial blight, based on Rep-PCR in Kohgiluye and Boyer- ahmad province

Mousavi Pour S. Haajar Baanoo<sup>1</sup> and Najafi Pour Gilda<sup>2\*</sup>

1. Former B.Sc. student, Department of Plant Protection, Jahrom branch, Islamic Azad University, Jahrom, Iran
2. \*Corresponding Author: Assistant Professor of Plant Pathology, Department of Plant Protection, Jahrom branch, Islamic Azad University, Jahrom, Iran (g\_najafipour@jia.ac.ir, gilda\_najafi@yahoo.com)

Received: 16 August 2016

Accepted: 13 May 2018

### Abstract

#### Background and objective

Walnut bacterial blight, caused by *Xanthomonas arboricola* pv. *juglandis* (*Xaj*) is one of the most important diseases, causing severe damage at the presence of moisture and the optimal temperature for the development of the disease. The aim of this study was walnut bacterial blight detection, in Kohgiluye and Boyer- Ahmad province and evaluation of genetic diversity of *Xaj* strains using rep-PCR.

#### Materials and methods

During 2011-1012, several samples of walnut's leaf and fruit, showed bacterial blight symptoms, were collected from Kohgiluyeh and Boyer- Ahmad province of Iran. Bacterial isolates were studied with bacteriological standard methods. Moreover, genetic fingerprint of *Xaj* strains were evaluated and phylogenetic tree of them was drawn.

#### Results

Twenty five isolates of *Xaj* were showed small, relatively prominent with yellow colony. All isolates were oxidative, Gram and oxidase negative but catalase positive. They hydrolyzed starch and able to produce H<sub>2</sub>S from cystein and formed yellow colonies on YDC medium.

#### Discussion

On the basis of biochemical, phenotypical and virulence test, presence of *Xaj* in Kohgiluyeh and Boyer- Ahmad province, was revealed. This is the first report of walnut bacterial blight disease in Kohgiluyeh and Boyer-Ahmad province. Genotypic characterization of isolates also was assayed with rep-PCR. All isolates were similar at 73% similarity level, but any relationship among clusters and geographic area were not observed.

**Key words:** *Xaj*, walnut bacterial blight, rep-PCR, genotypic variation.